

SB

Vendredi 10 Septembre 2004- 29ème congrès SB

Asymmetrical effects in a 2D flow, application to pharyngeal fluid flow in obstructive sleep apnea

LAGRÉE P.-Y. LMM/CNRS-PARIS6

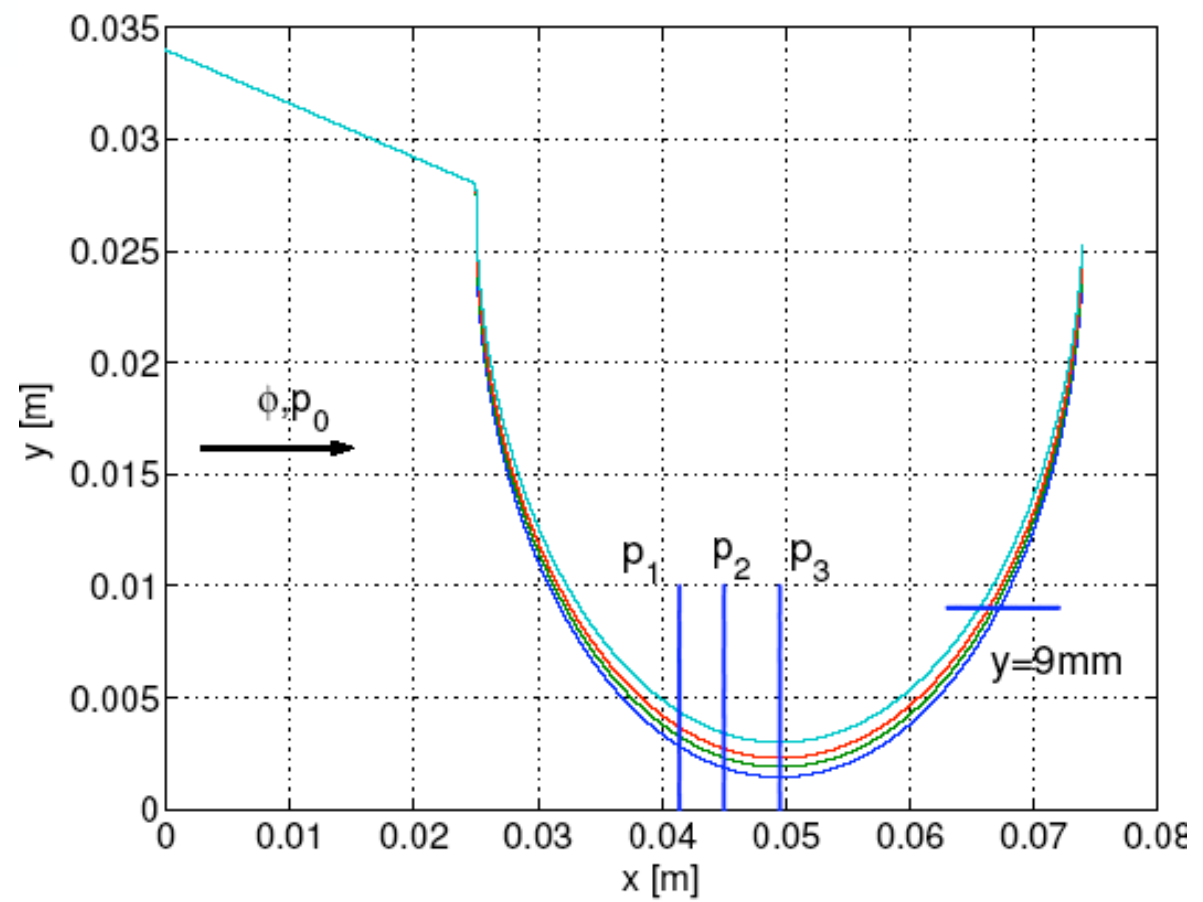
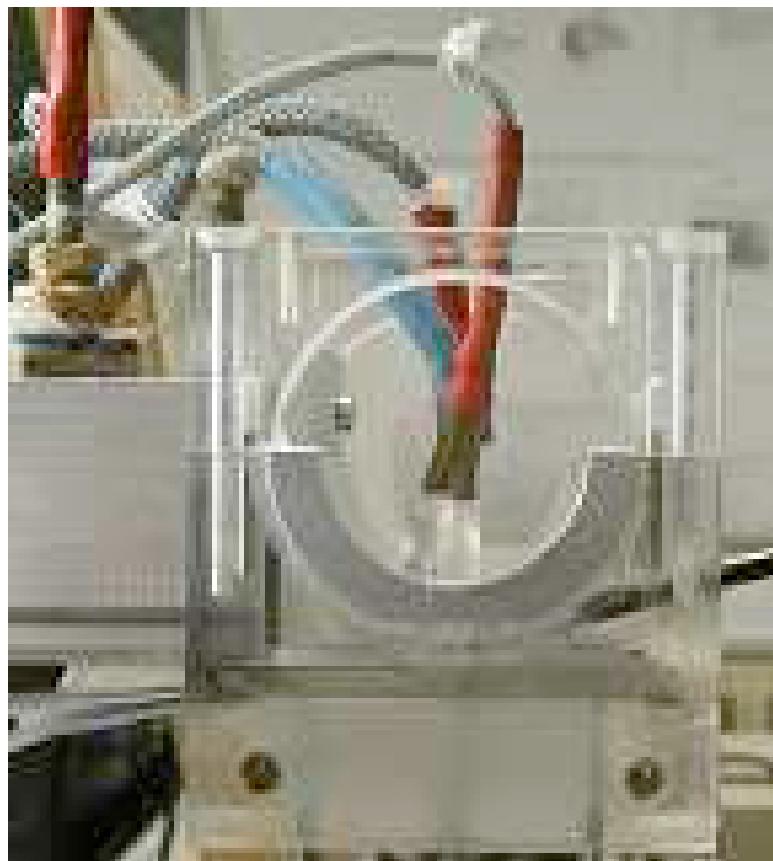
VAN HIRTUM A. ICP/CNRS-INPGrenoble



Apnée du Sommeil

- OSA (Obstructive Sleep Apnea):
cessation de la respiration pendant le sommeil
- 4% des hommes 2% des femmes
- conséquences cardiovasculaires,
hypertension
- traitement “mécanique”/
- opération (50 à 78% de réussite)

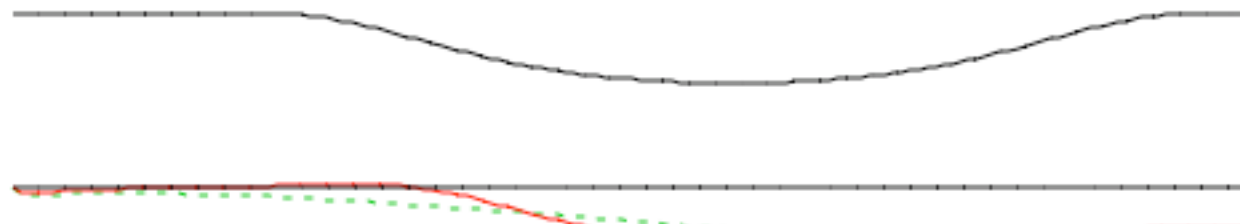
PAROIS RIGIDES



Mécanisme

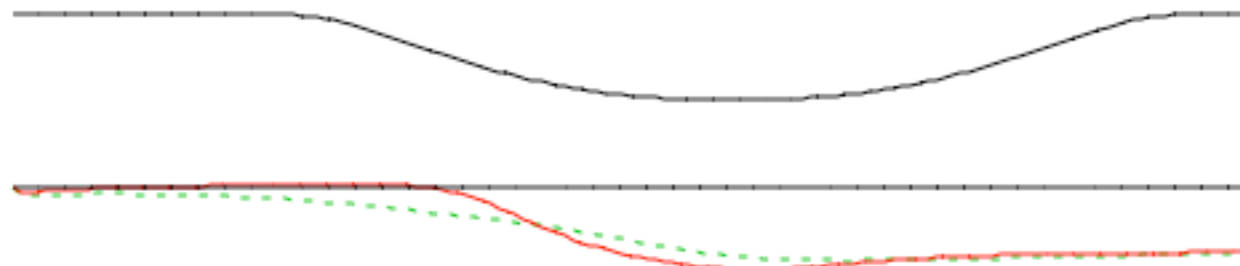
- la diminution de section
- entraîne une accélération
- donc une dépression
- d'où la fermeture du conduit

$\alpha=0.4$



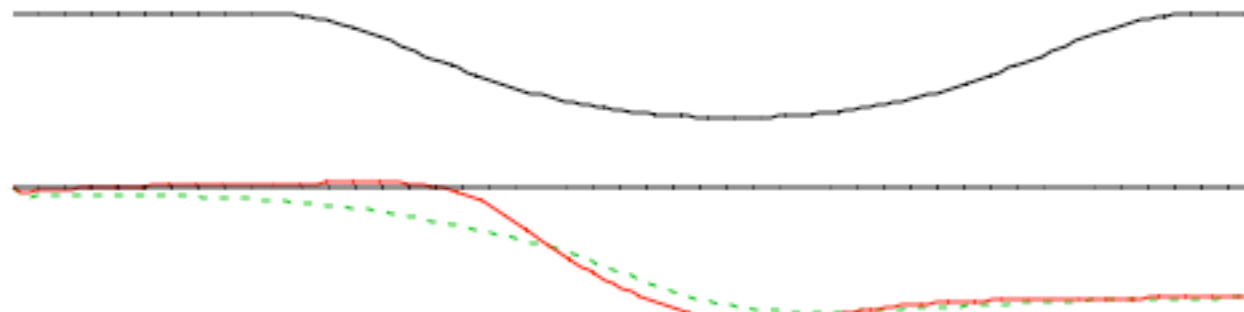
pression plat -----
pression bosse ———

$\alpha=0.5$



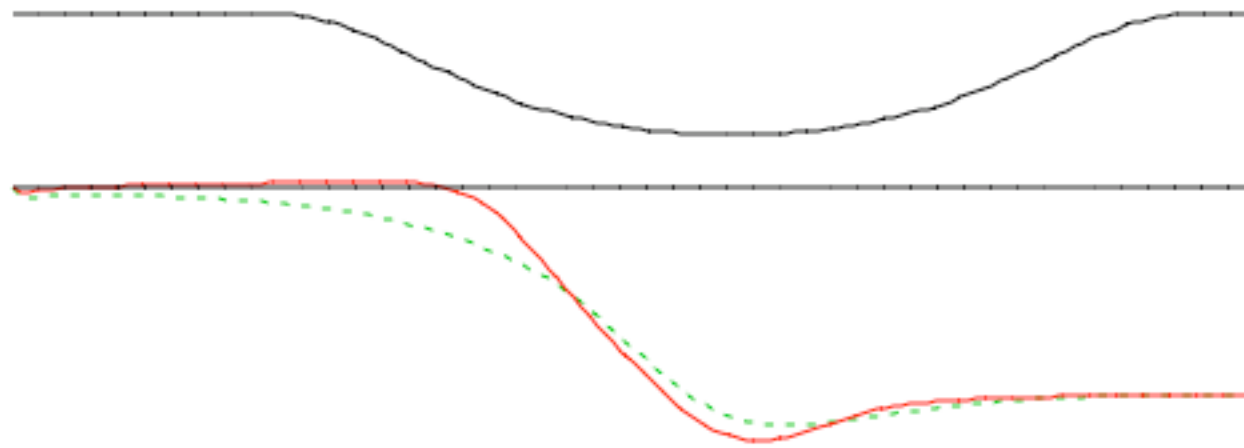
pression plat -----
pression bosse ———

$\alpha=0.6$



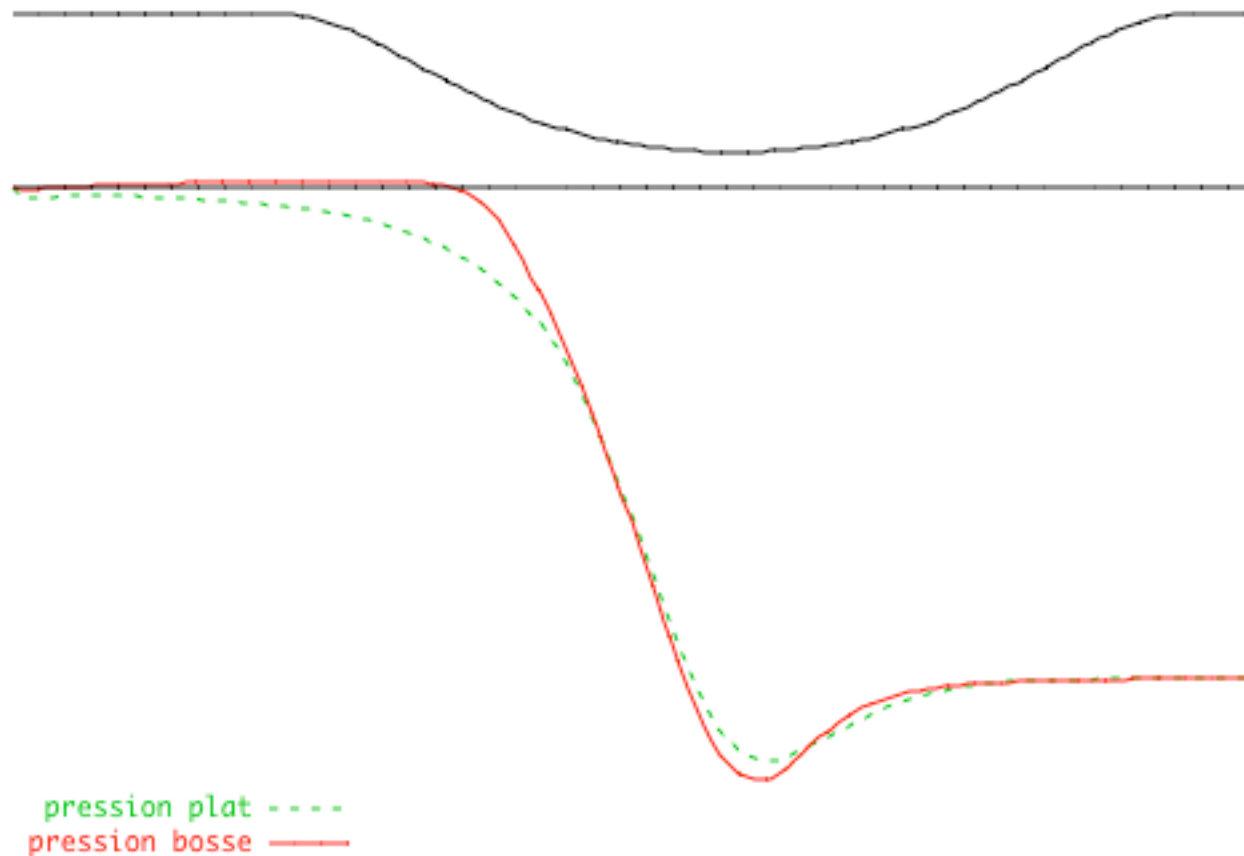
pression plat -----
pression bosse ———

$\alpha=0.7$

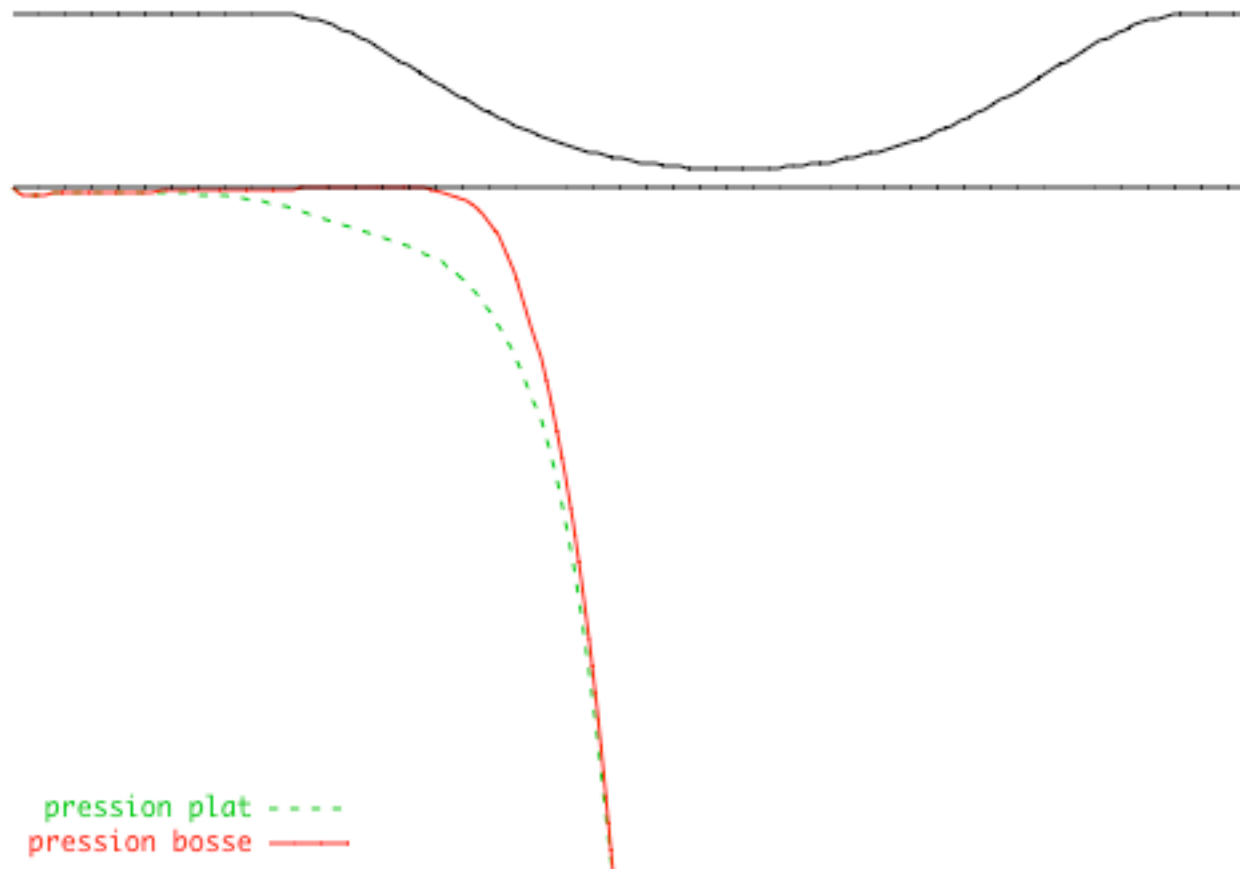


pression plat -----
pression bosse ———

$\alpha=0.8$



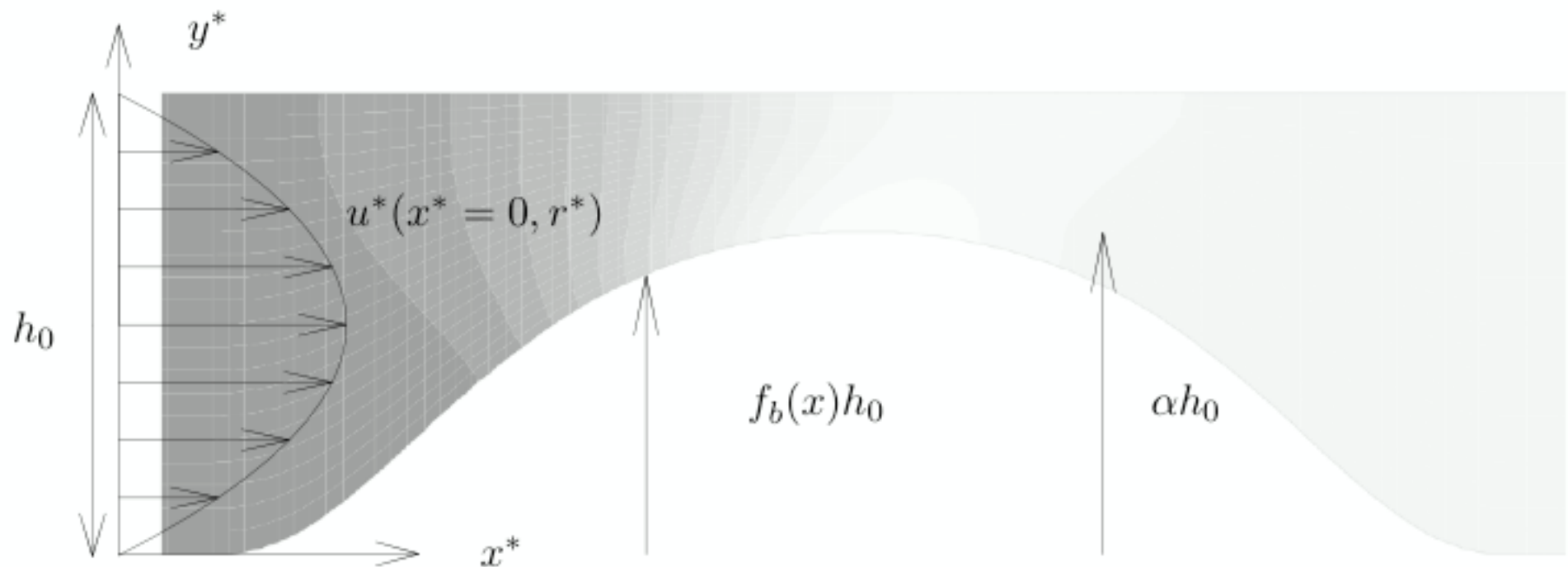
$\alpha=0.9$



ce que nous allons présenter:

- Différents jeux d'équations simplifiées pour le fluide
- comparaisons avec des calculs Navier Stokes
- comparaisons expérimentales

géométrie de calcul



Navier Stokes

$$\frac{\partial}{\partial x} u + \frac{\partial}{\partial y} v = 0$$

$$u \frac{\partial}{\partial x} u + v \frac{\partial}{\partial y} u = - \frac{\partial p}{\rho \partial x} + \nu \frac{\partial^2}{\partial y^2} u + \nu \frac{\partial^2}{\partial x^2} u$$

$$u \frac{\partial}{\partial x} v + v \frac{\partial}{\partial y} v = - \frac{\partial p}{\rho \partial y} + \nu \frac{\partial^2}{\partial y^2} v + \nu \frac{\partial^2}{\partial x^2} v$$

Castem 2000

Navier Stokes

$$\frac{\partial}{\partial x} u + \frac{\partial}{\partial y} v = 0$$

$$u \frac{\partial}{\partial x} u + v \frac{\partial}{\partial y} u = - \frac{\partial p}{\rho \partial x} + \nu \frac{\partial^2}{\partial y^2} u$$

$$u \frac{\partial}{\partial x} v + v \frac{\partial}{\partial y} v = - \frac{\partial p}{\rho \partial y} + \nu \frac{\partial^2}{\partial y^2} v$$

Navier Stokes

$$\frac{\partial}{\partial x}u + \frac{\partial}{\partial y}v = 0$$

$$u\frac{\partial}{\partial x}u + v\frac{\partial}{\partial y}u = -\frac{\partial p}{\rho \partial x} + \nu \frac{\partial^2}{\partial y^2}u$$

$$0 = -\frac{\partial}{\partial y}p$$

Reduced Navier Stokes

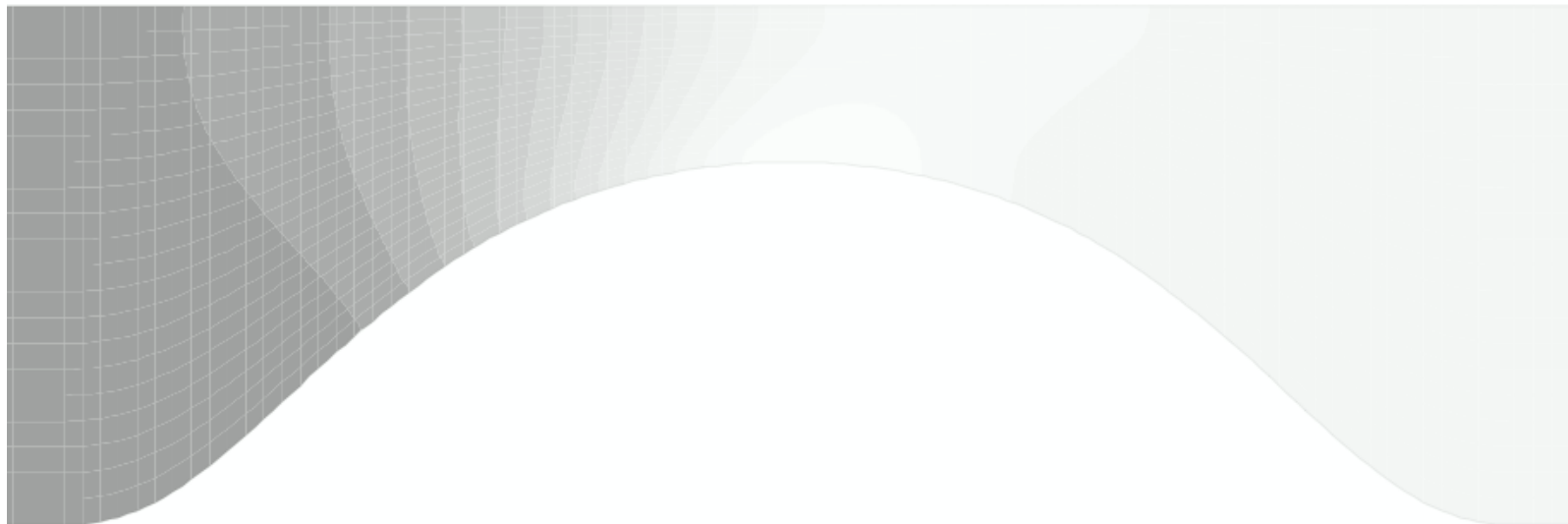
$$\frac{\partial}{\partial x} u + \frac{\partial}{\partial y} v = 0$$

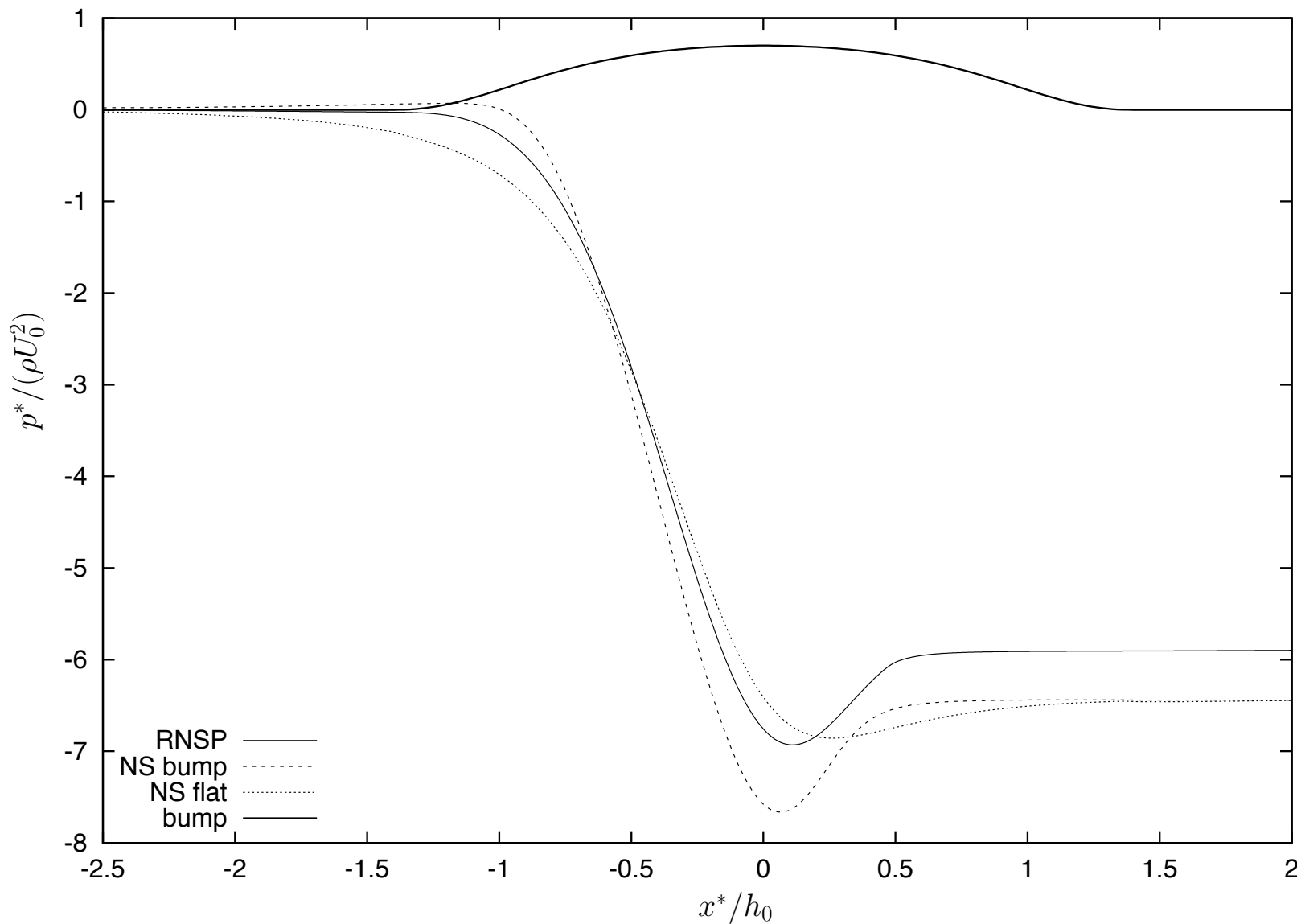
$$u \frac{\partial}{\partial x} u + v \frac{\partial}{\partial y} u = - \frac{\partial}{\partial x} p + \frac{\partial^2}{\partial y^2} u$$

$$0 = - \frac{\partial}{\partial y} p$$

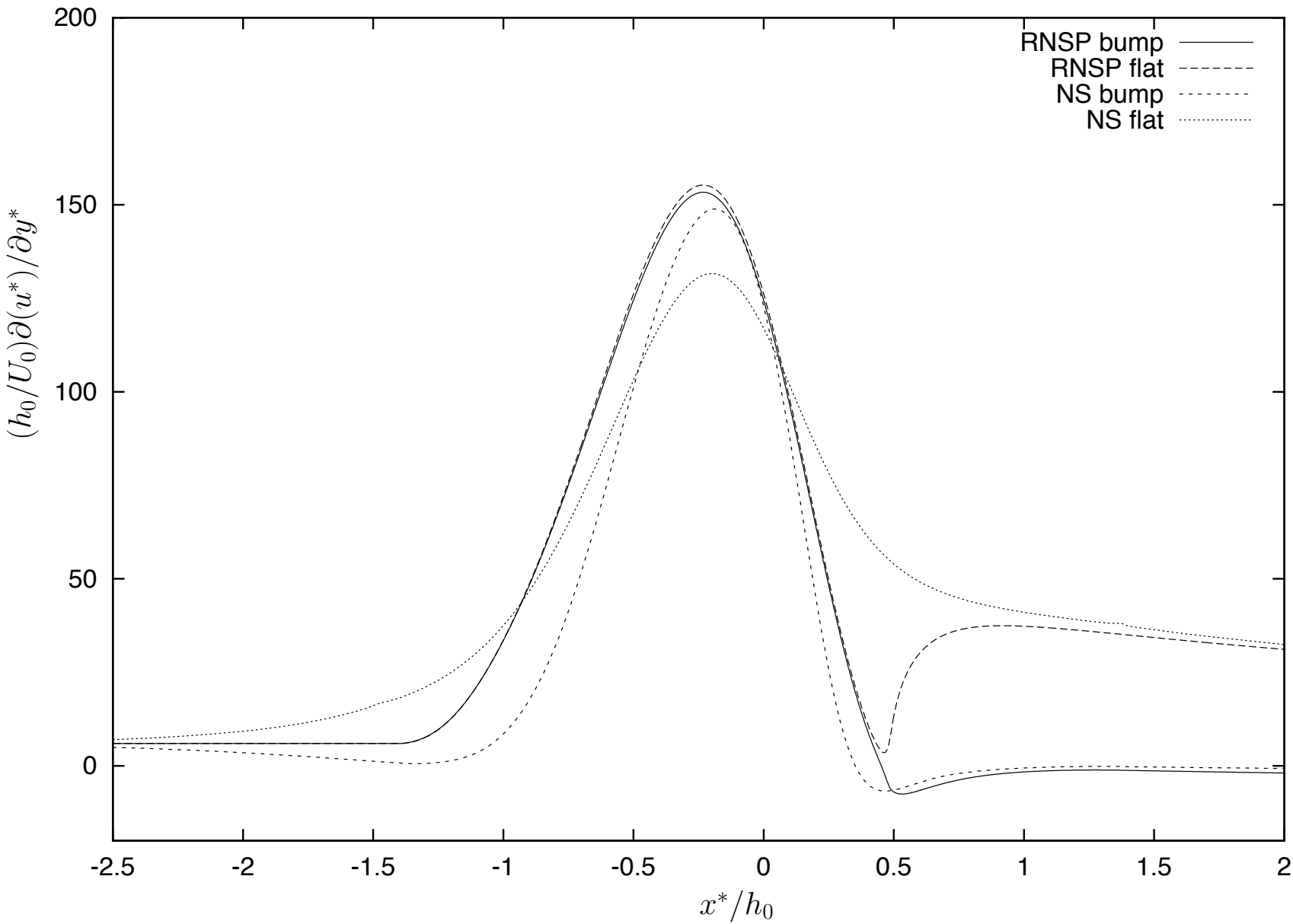
avec un adimensionnement *ad hoc*

premiers exemples





pression RNSP et NS sur les deux parois



frottement pariétal RNSP et NS sur les deux parois

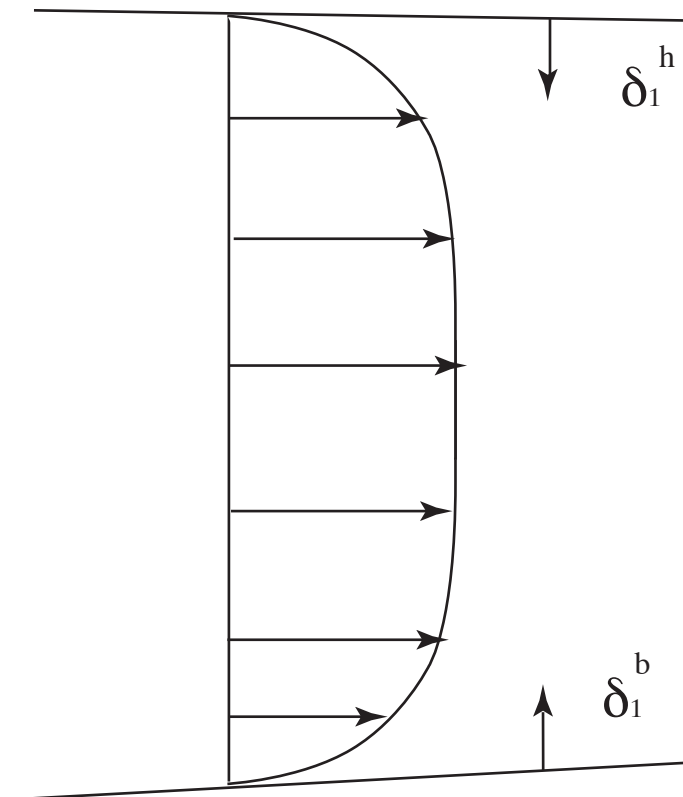
- Légère dissymétrie
- décomposition Fluide Parfait/Couche limite
- Utilisation d'une méthode intégrale

Epaisseur de déplacement de la couche limite

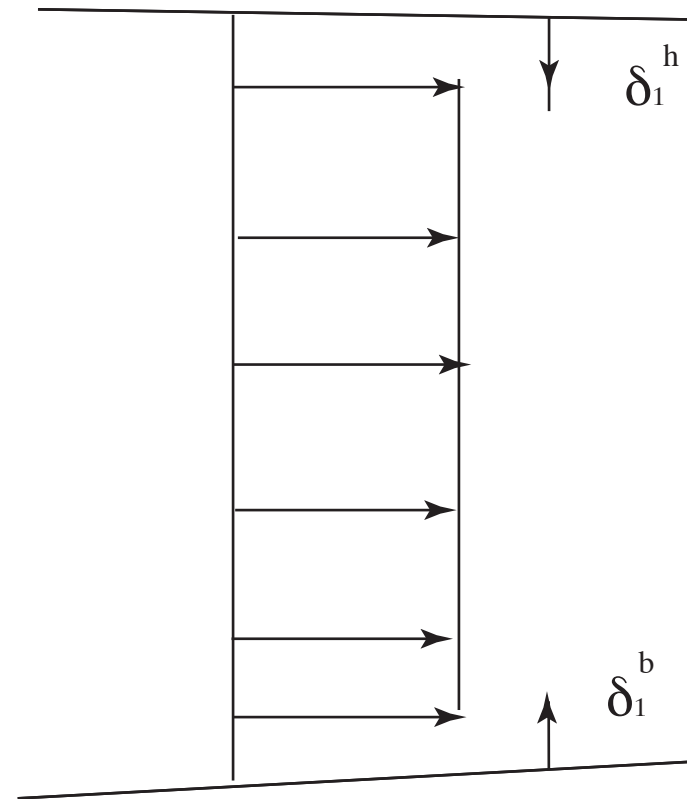
$$\delta_1^h = \int_0^\infty \left(1 - \frac{u}{u_{y=f^h}^h}\right) dy$$

$$\delta_1^b = \int_0^\infty \left(1 - \frac{u}{u_{y=f^b}^b}\right) dy$$

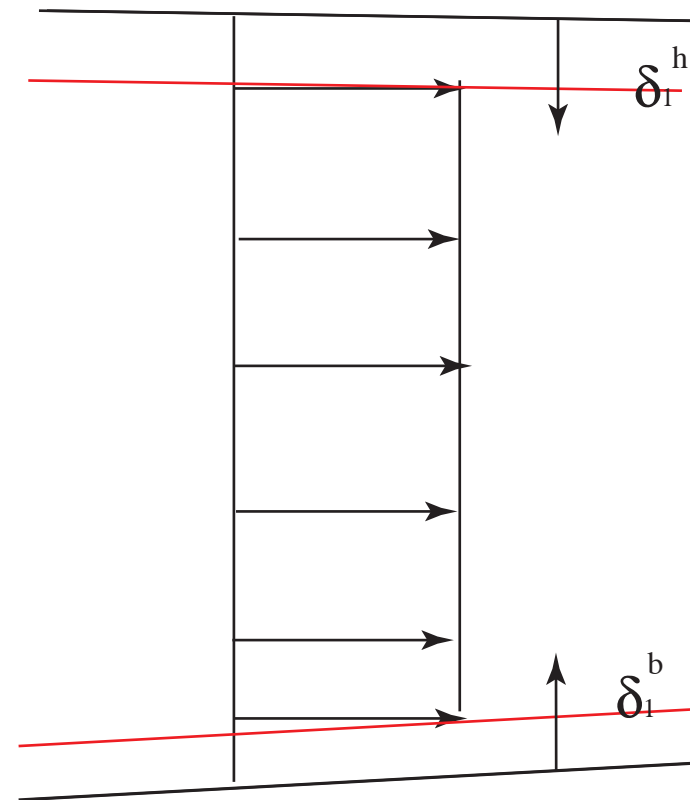
Utilisation d'une méthode intégrale

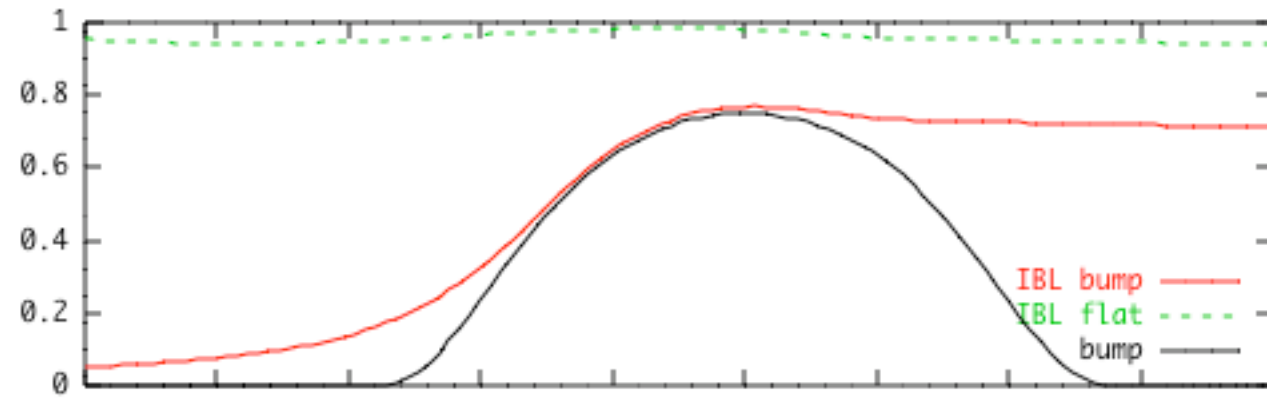


Utilisation d'une méthode intégrale



Utilisation d'une méthode intégrale





les deux couches limites finales
“conduit” réel

Relation de couplage

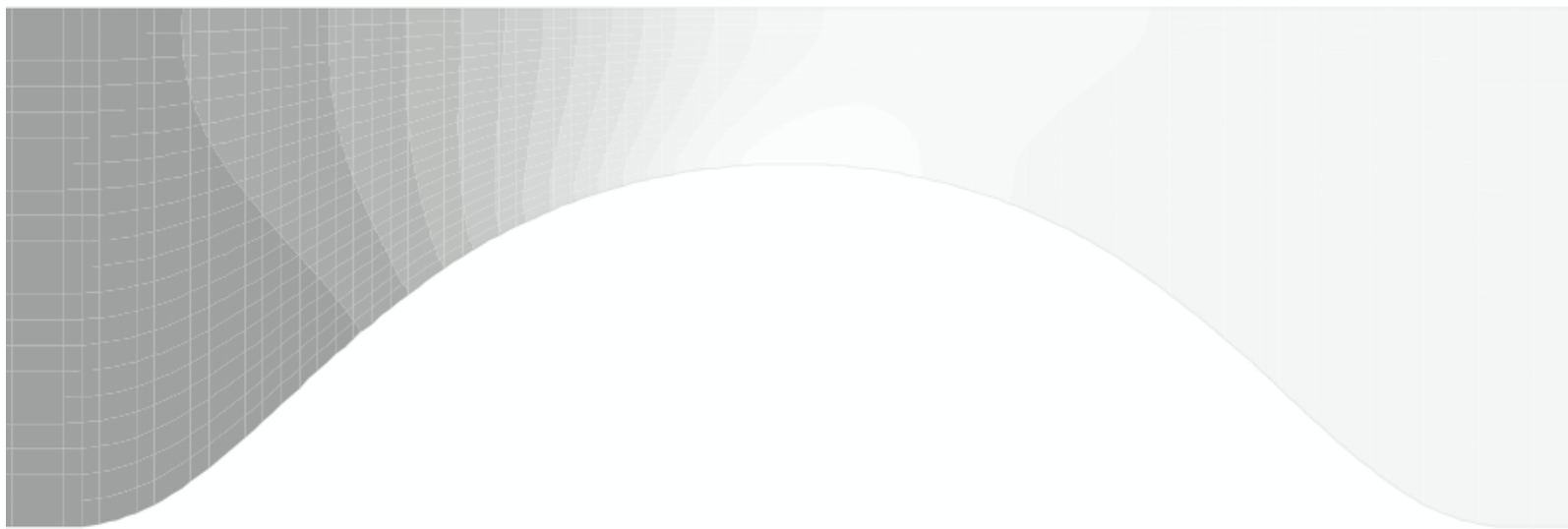
- Fluide parfait flux corrigé:

$$U_0(1 - (f_h + \delta_1^h) - (f_b + \delta_1^b)) = 1$$

variation de pression au travers de la section

$$\Delta P_0 = \varepsilon^2 \left(\frac{((f'_h + \delta'^{h}_1)^2 - (f'_b + \delta'^{b}_1)^2)}{1 - (f_b + \delta^b_1) - (f_h + \delta^h_1)} \right. \\ \left. + \frac{(f''_h + \delta''^{h}_1 - f''_b - \delta''^{b}_1)}{2} \right).$$

$$\varepsilon = Re^{-1}$$

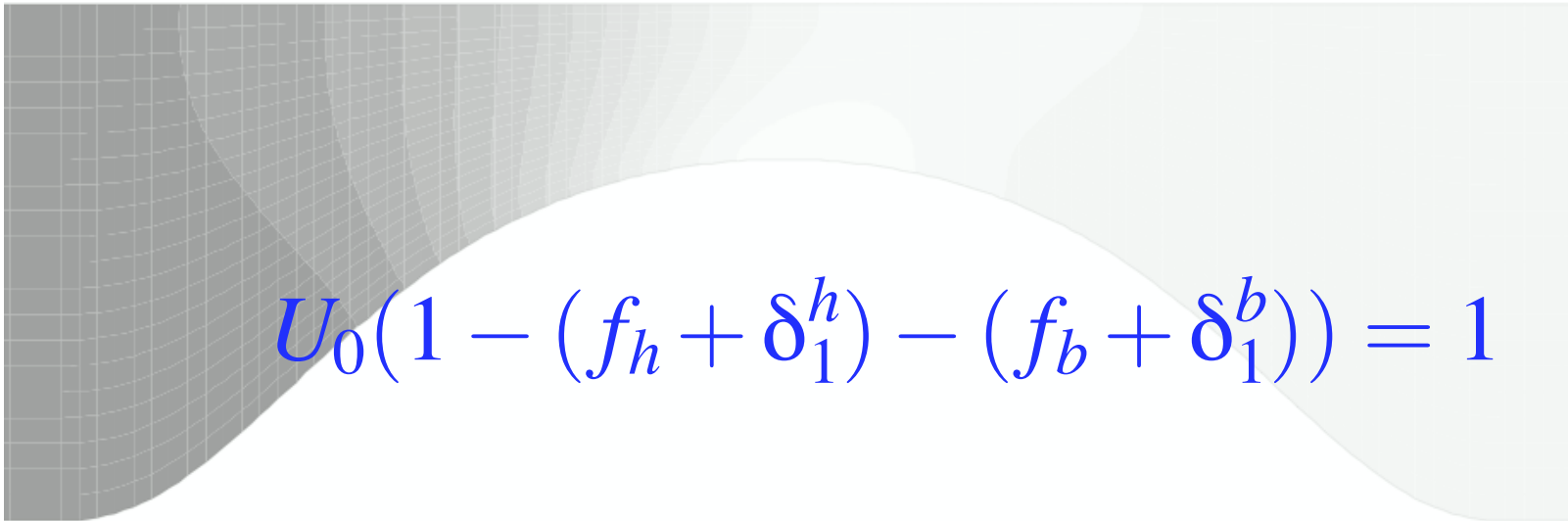


$$\frac{d}{dx}\left(\frac{\delta_1^h}{H}\right) + \frac{\delta_1^h}{u_e^h}\left(1 + \frac{2}{H}\right)\frac{du_e^h}{dx} = \frac{f_2 H}{\delta_1^h u_e^h}, \quad \delta_1^h = F(p_e^h)$$



$$\frac{d}{dx}\left(\frac{\delta_1^b}{H}\right) + \frac{\delta_1^b}{u_e^b}\left(1 + \frac{2}{H}\right)\frac{du_e^b}{dx} = \frac{f_2 H}{\delta_1^b u_e^b}, \quad \delta_1^b = F(p_e^b)$$

$$\frac{d}{dx}(\frac{\delta_1^h}{H}) + \frac{\delta_1^h}{u_e^h}(1+\frac{2}{H})\frac{du_e^h}{dx} = \frac{f_2 H}{\delta_1^h u_e^h}, \quad \delta_1^h = F(p_e^h)$$



$$U_0(1-(f_h+\delta_1^h)-(f_b+\delta_1^b))=1$$

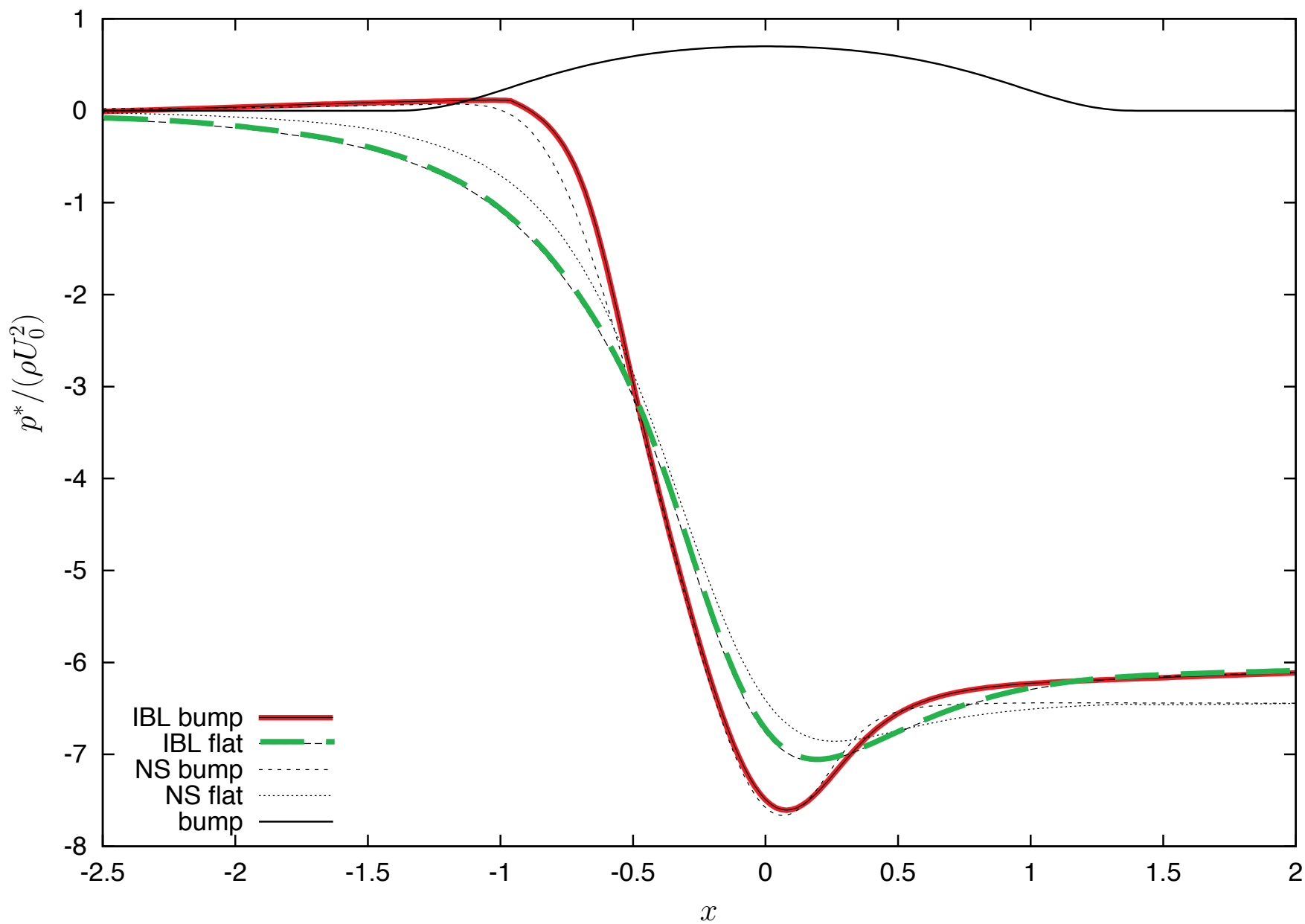
$$\frac{d}{dx}(\frac{\delta_1^b}{H}) + \frac{\delta_1^b}{u_e^b}(1+\frac{2}{H})\frac{du_e^b}{dx} = \frac{f_2 H}{\delta_1^b u_e^b}, \quad \delta_1^b = F(p_e^b)$$

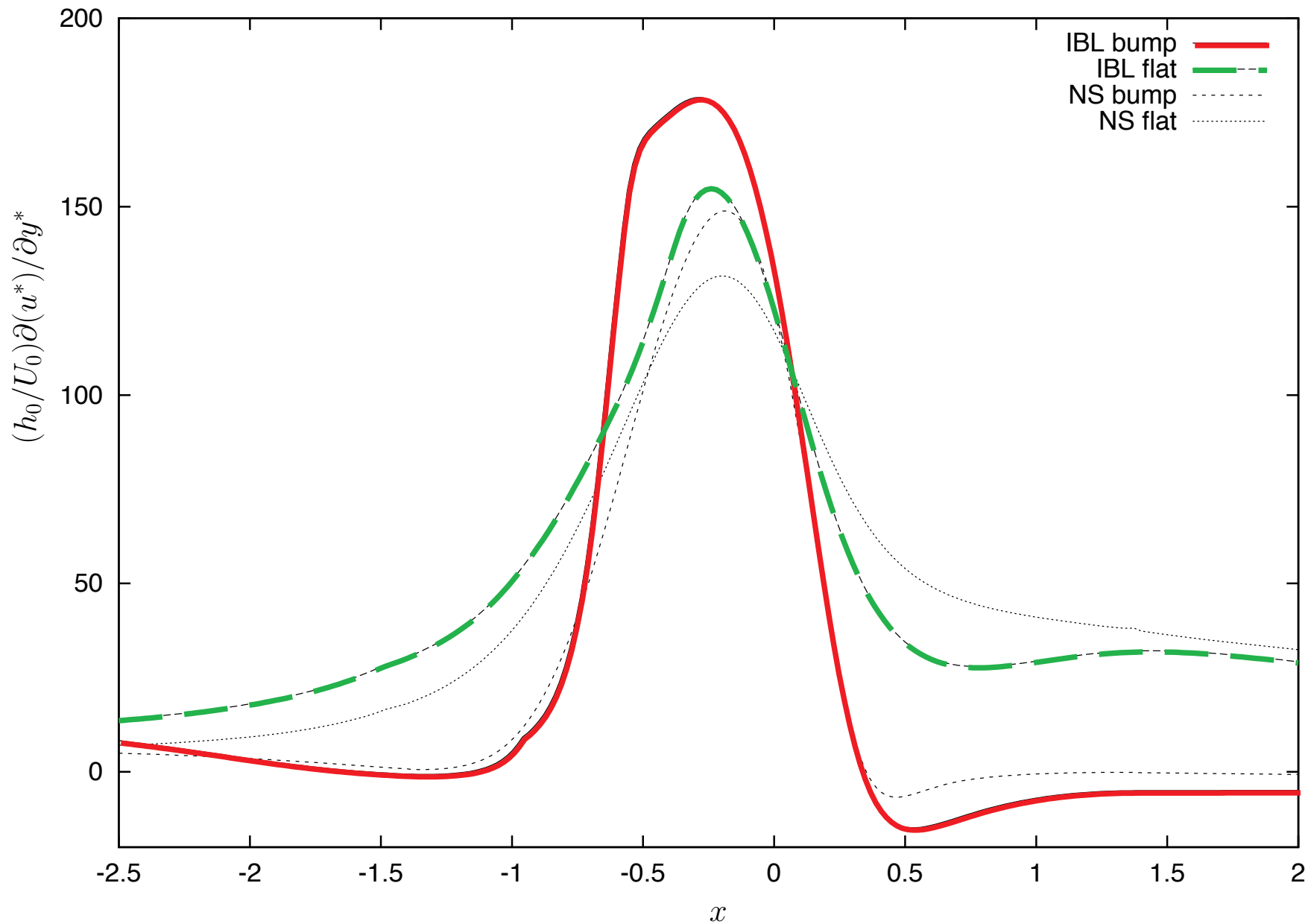
$$\frac{d}{dx}(\frac{\delta_1^h}{H}) + \frac{\delta_1^h}{u_e^h}(1+\frac{2}{H})\frac{du_e^h}{dx} = \frac{f_2 H}{\delta_1^h u_e^h}, \qquad \delta_1^h = F(p_e^h)$$

$$\Delta P_0=\varepsilon^2\Big(\frac{\big((f'_h+\delta'^h_1)^2-(f'_b+\delta'^b_1)^2\big)}{1-(f_b+\delta^b_1)-(f_h+\delta^h_1)}+\frac{\big(f''_h+\delta''^h_1-f''_b-\delta''^b_1\big)}{2}\Big).$$

$$U_0(1-(f_h+\delta_1^h)-(f_b+\delta_1^b))=1$$

$$\frac{d}{dx}(\frac{\delta_1^b}{H}) + \frac{\delta_1^b}{u_e^b}(1+\frac{2}{H})\frac{du_e^b}{dx} = \frac{f_2 H}{\delta_1^b u_e^b}, \qquad \delta_1^b = F(p_e^b)$$

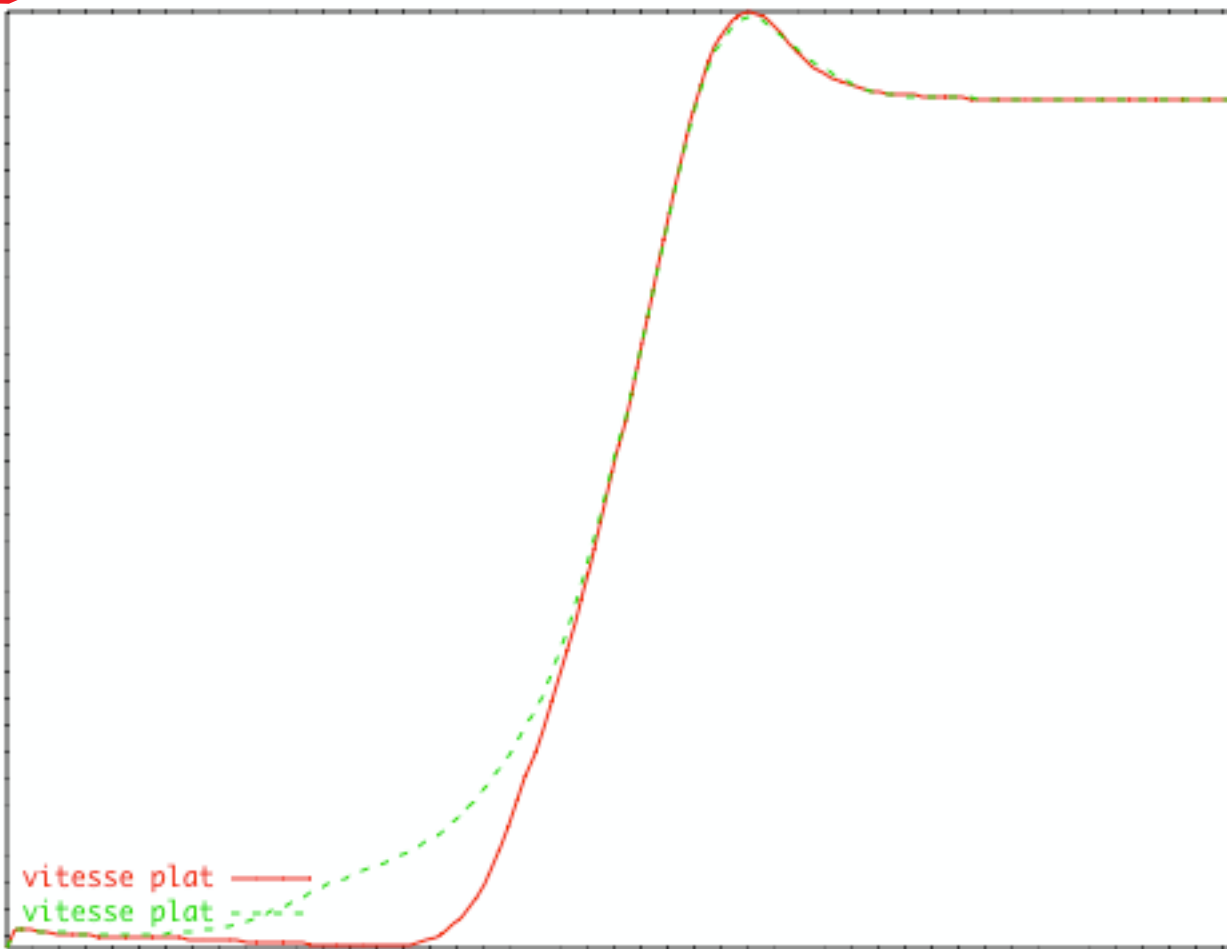




couche limite amincie

Accélération

couche limite amincie

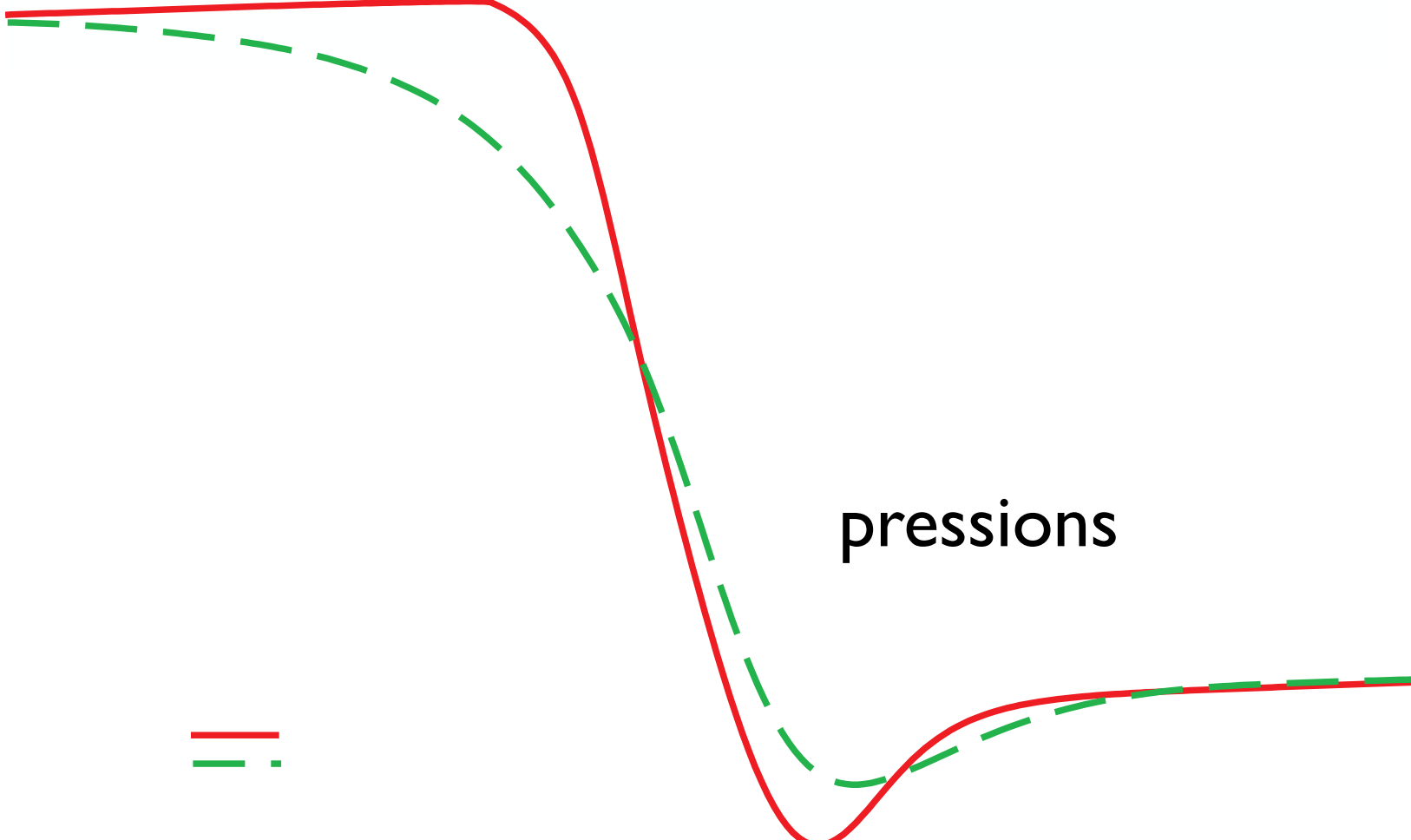


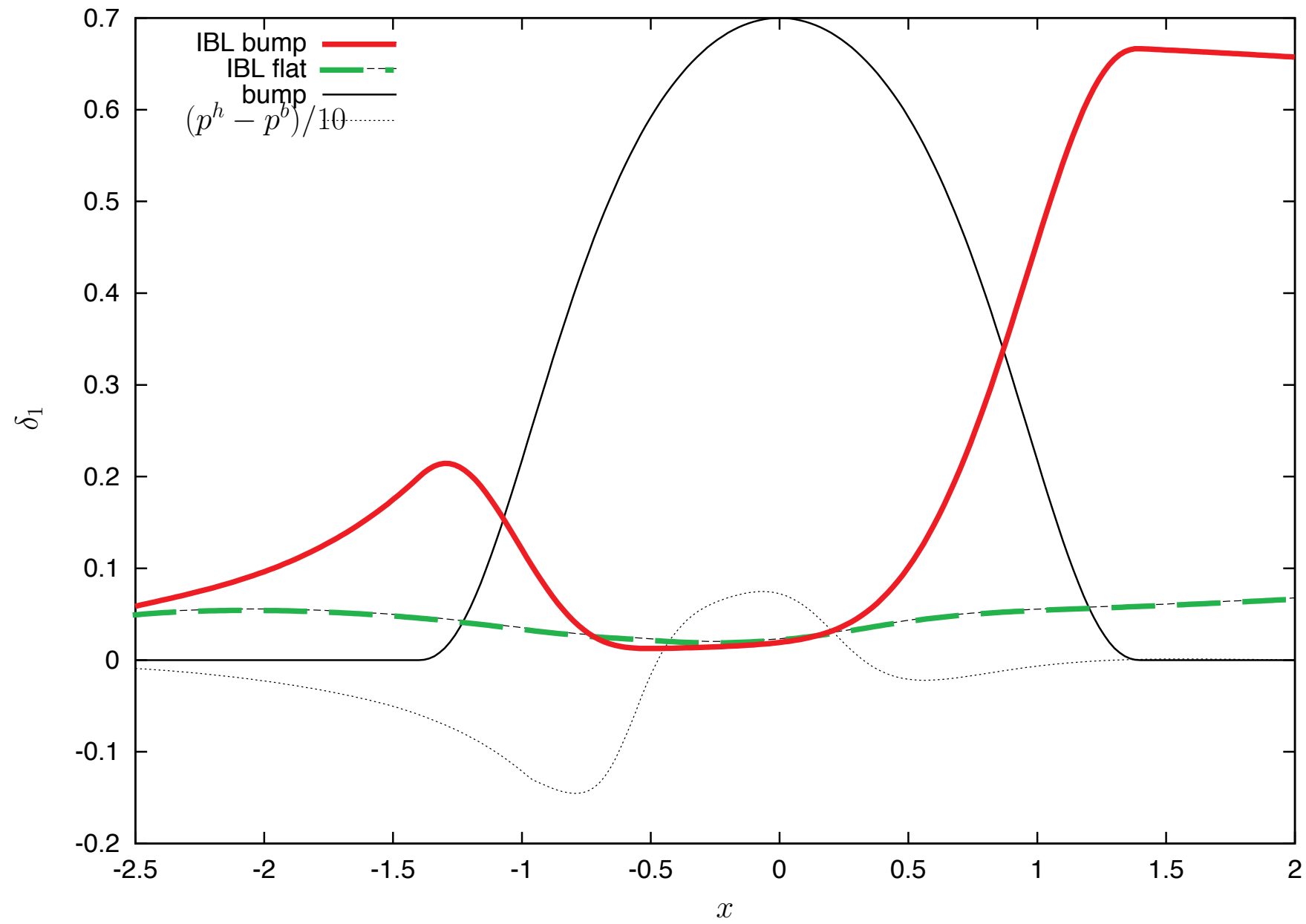
couche limite amincie

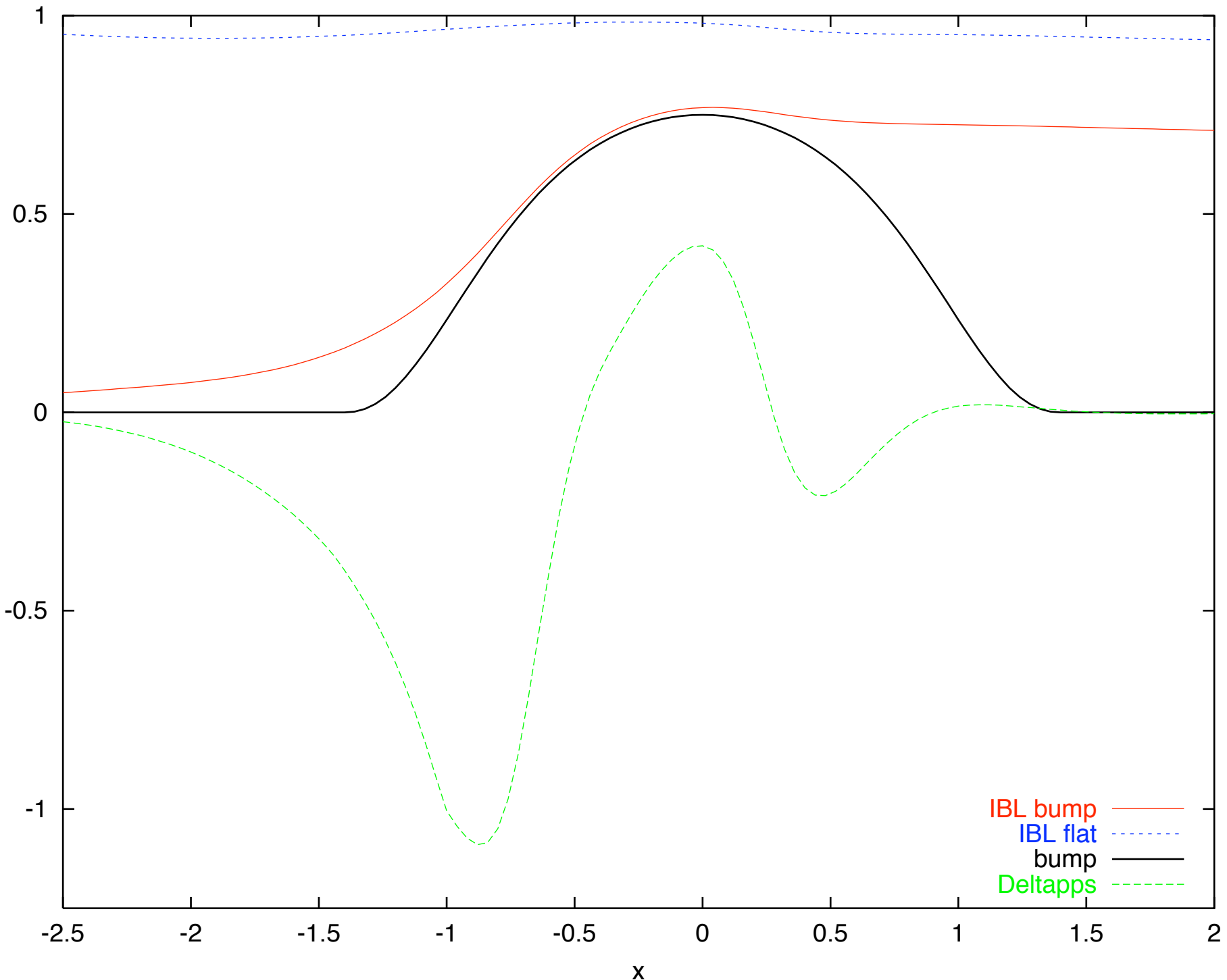
Accélération

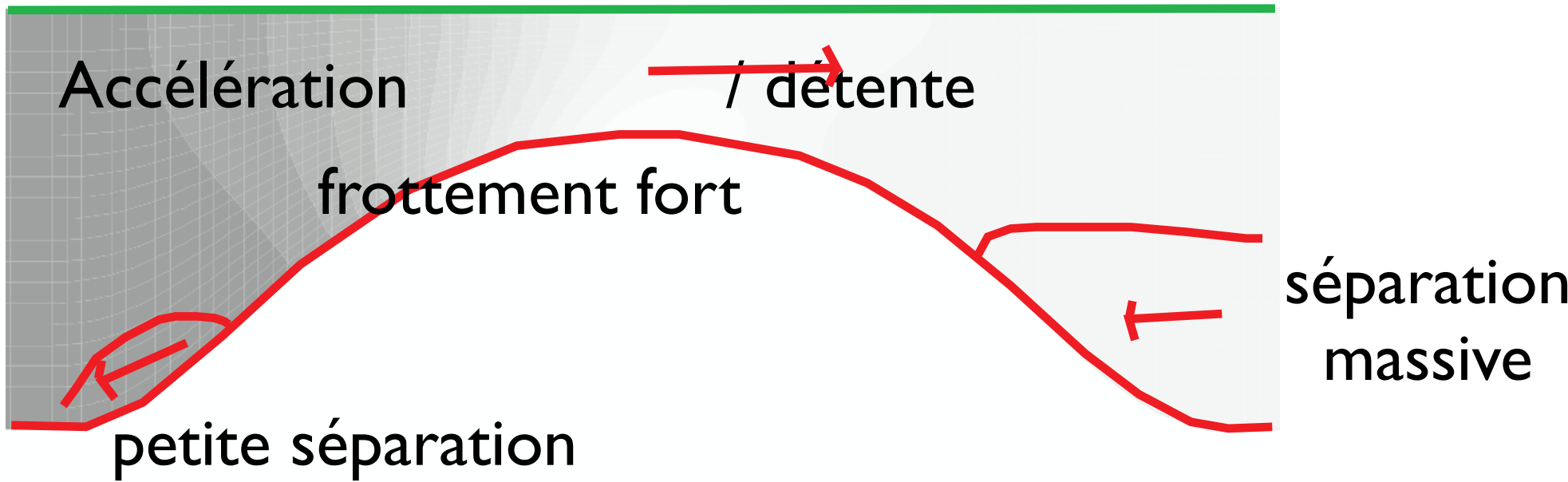
/ détente

couche limite amincie

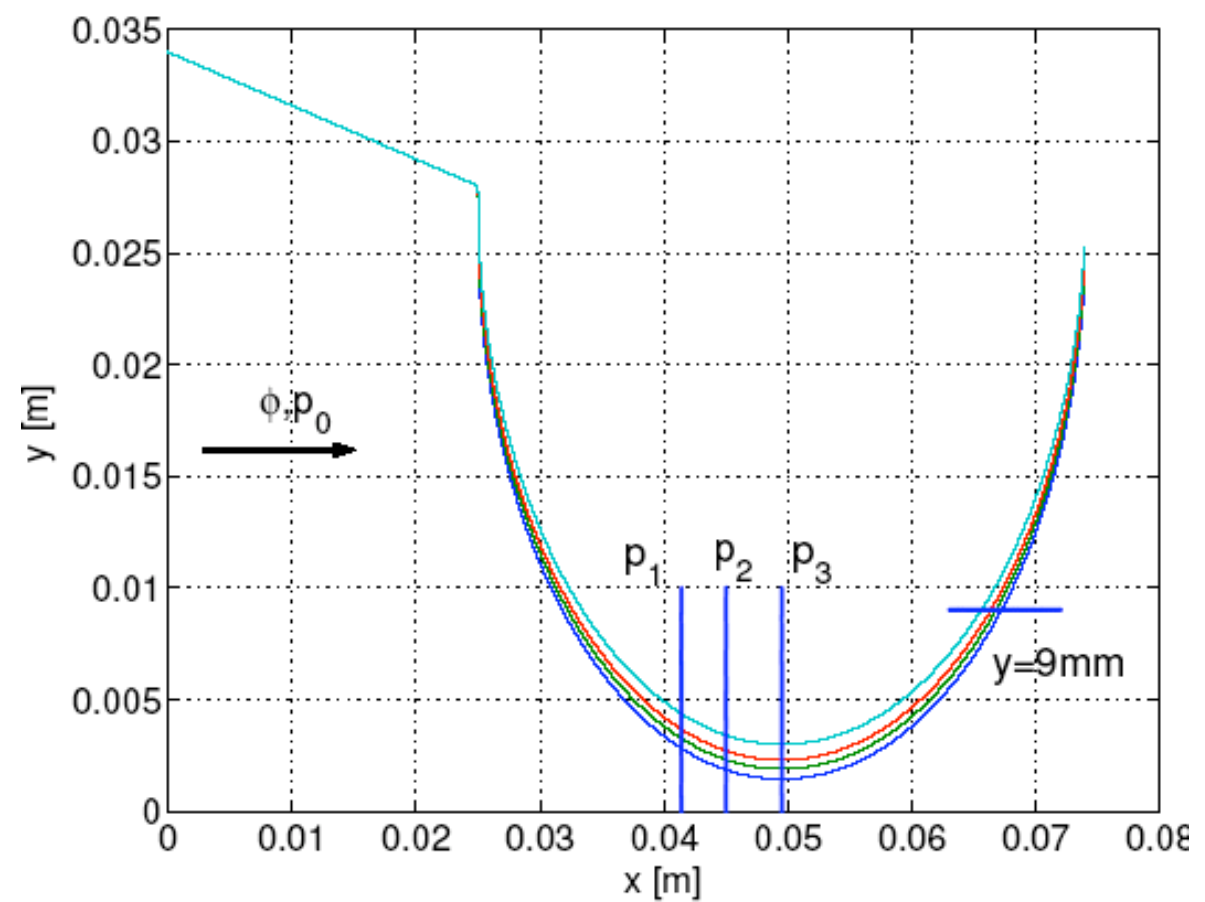
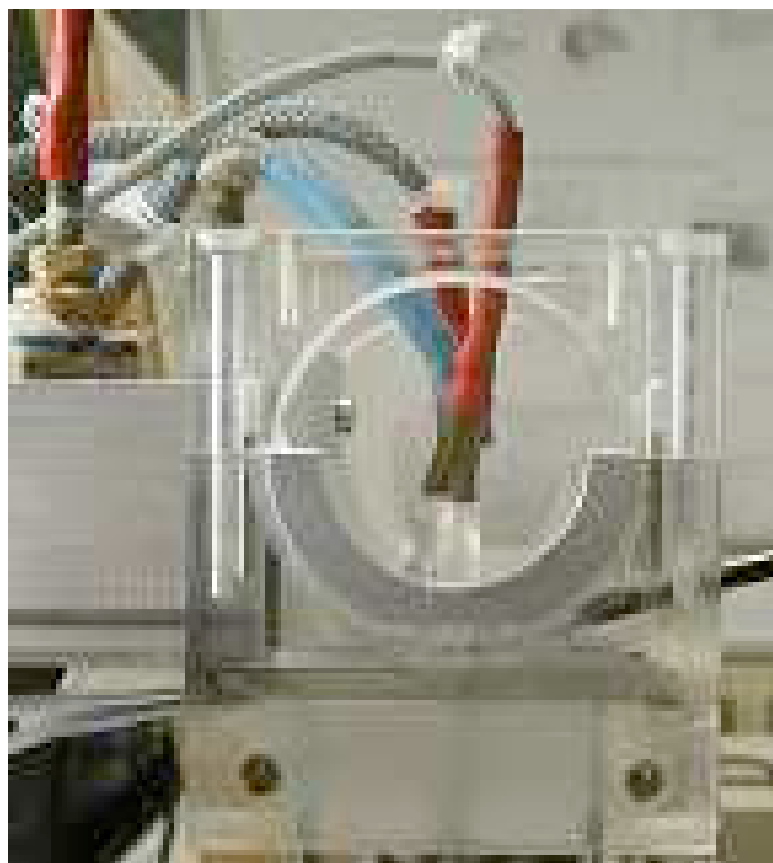








modèle expérimental



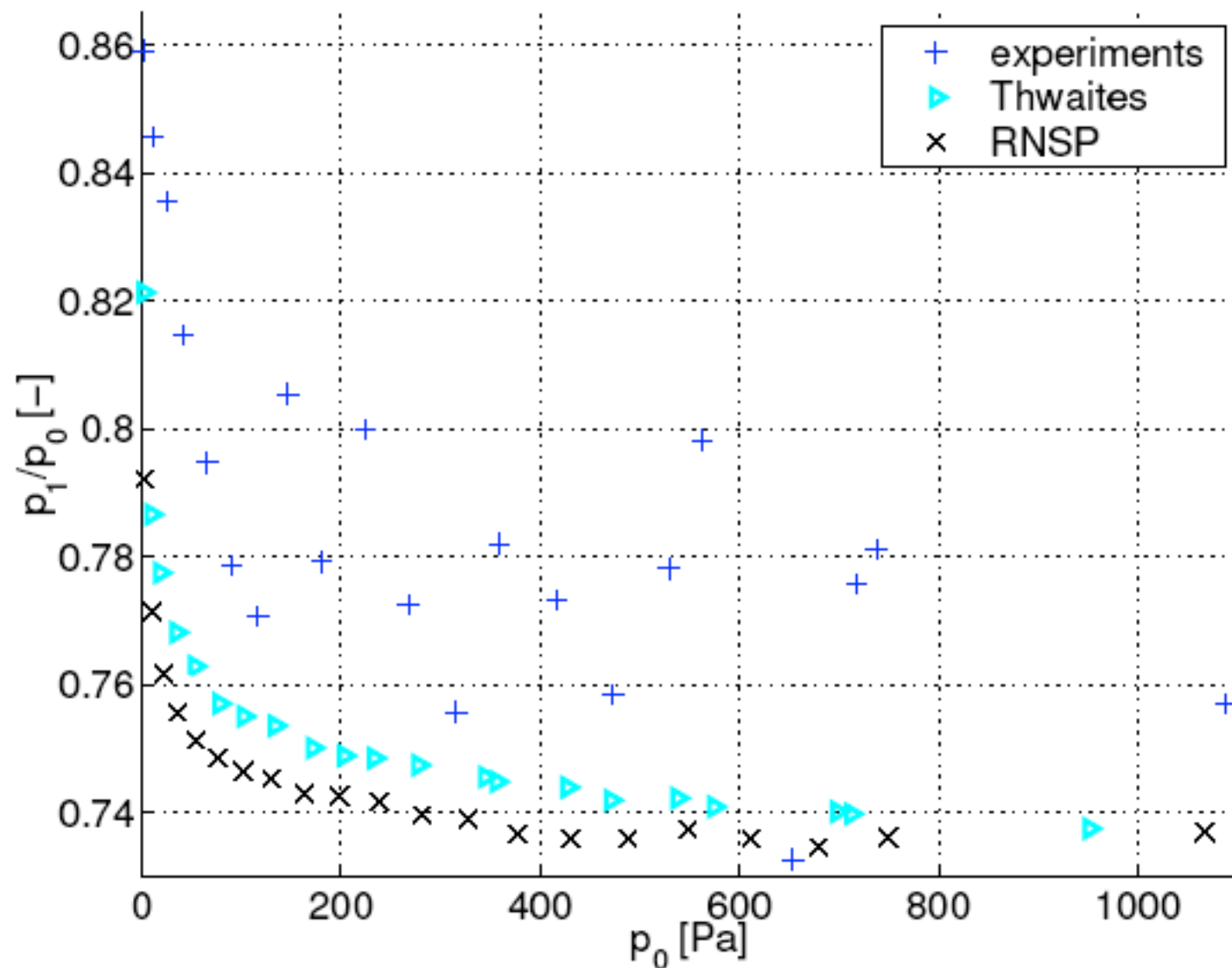


Figure 10. Normalized pressure at position p_1 for $h_{min} = 1.45\text{mm}$: measured data (+), Thwaites (>) and RNSP (x).

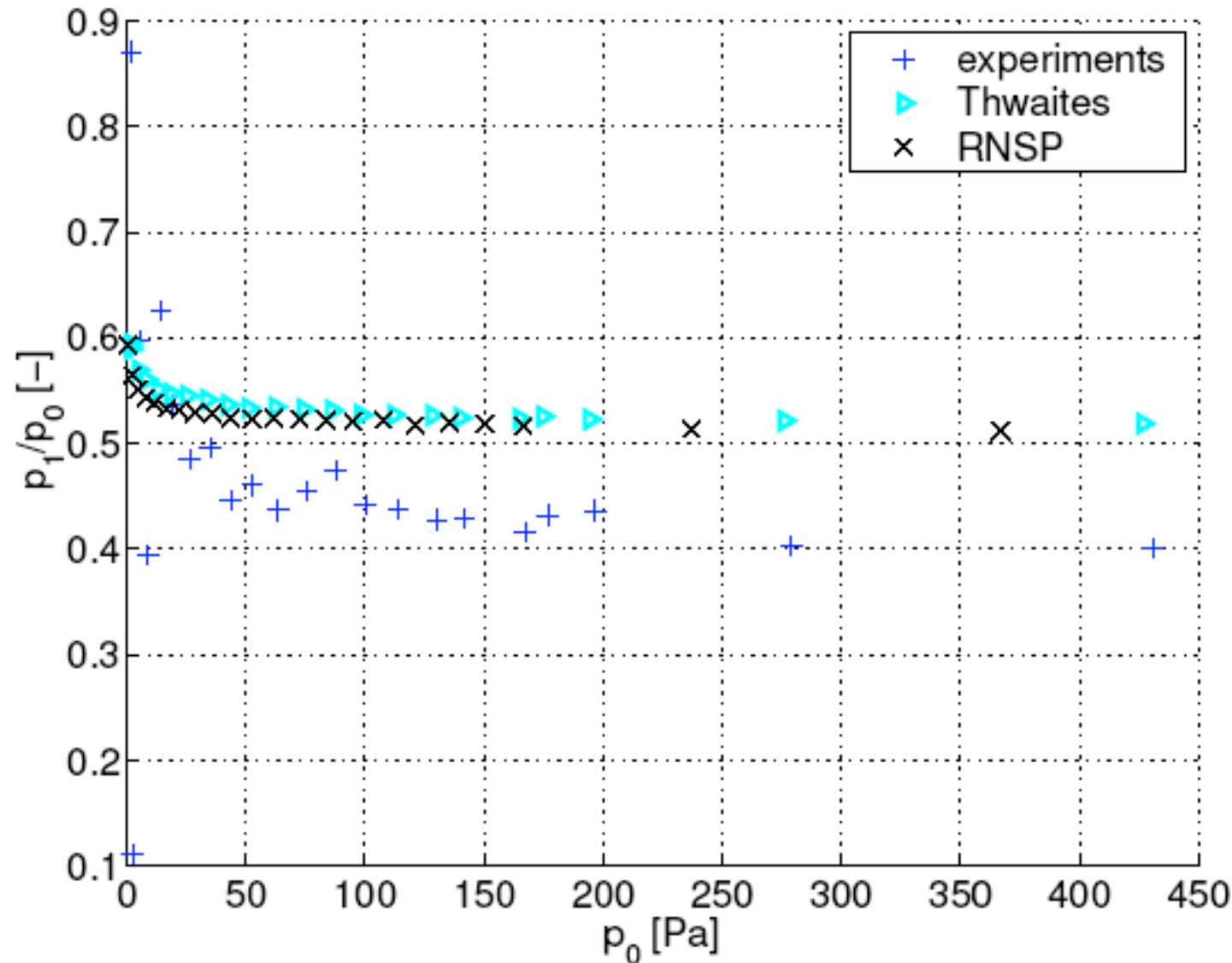


Figure 13. Normalized pressure at position p_1 for $h_{min} = 3.00\text{mm}$: measured data (+), Thwaites (>) and RNSP (x).

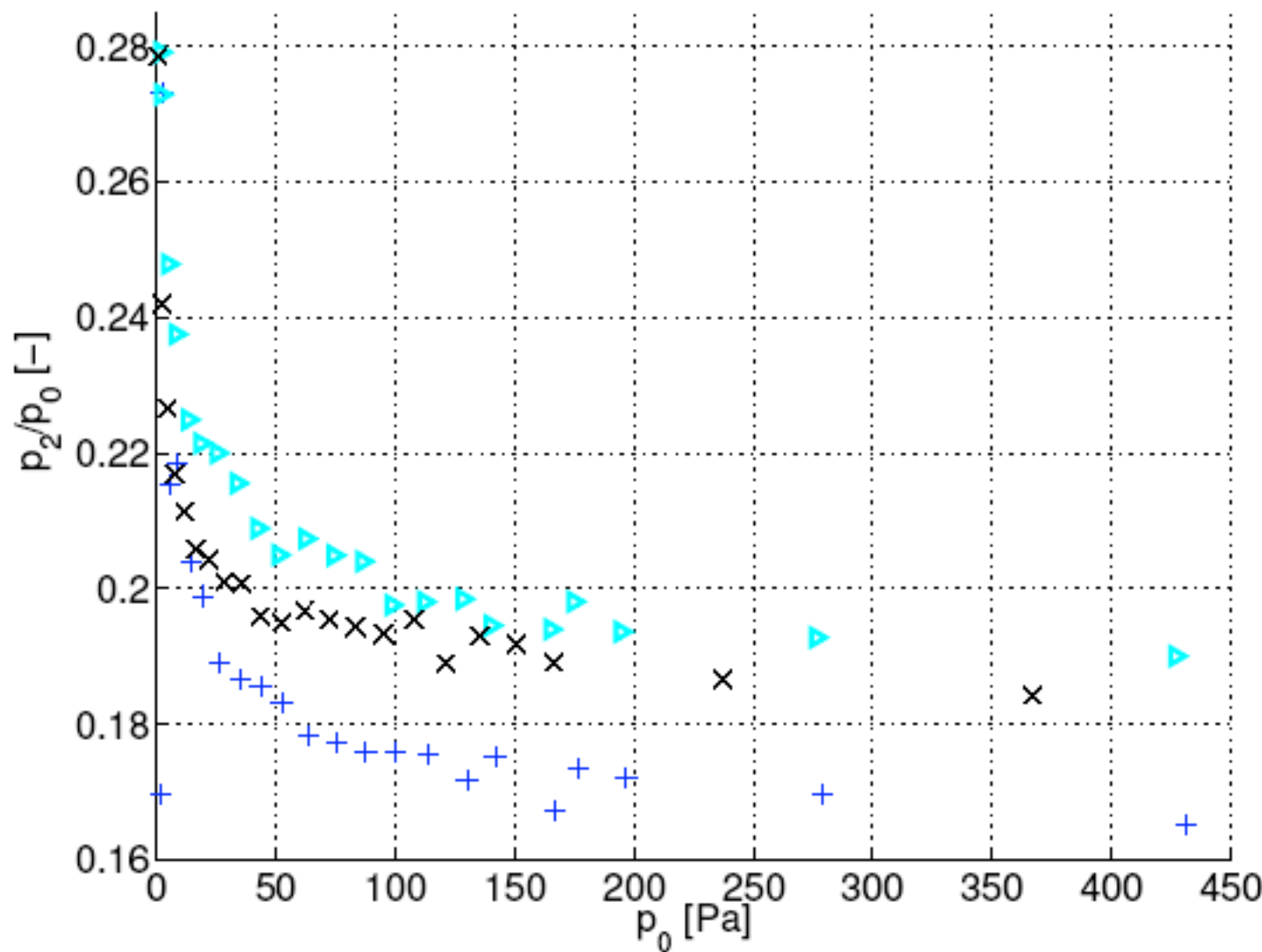


Figure 14. Normalized pressure at position p_2 for $h_{min} = 3.00\text{mm}$: measured data (+), Thwaites (>) and RNSP (x).

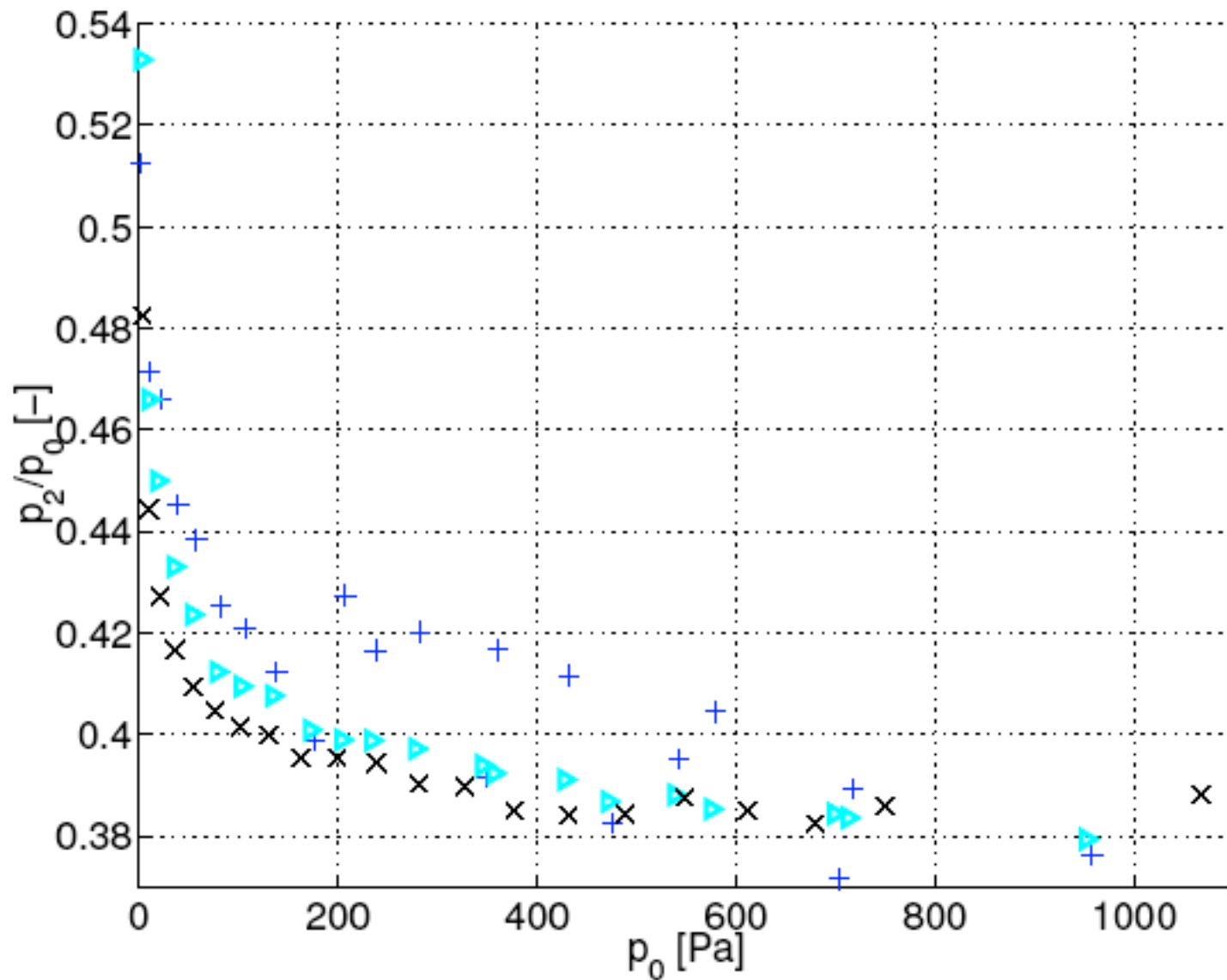


Figure 11. Normalized pressure at position p_2 for $h_{min} = 1.45\text{mm}$: measured data (+), Thwaites (\blacktriangleright) and RNSP (x).

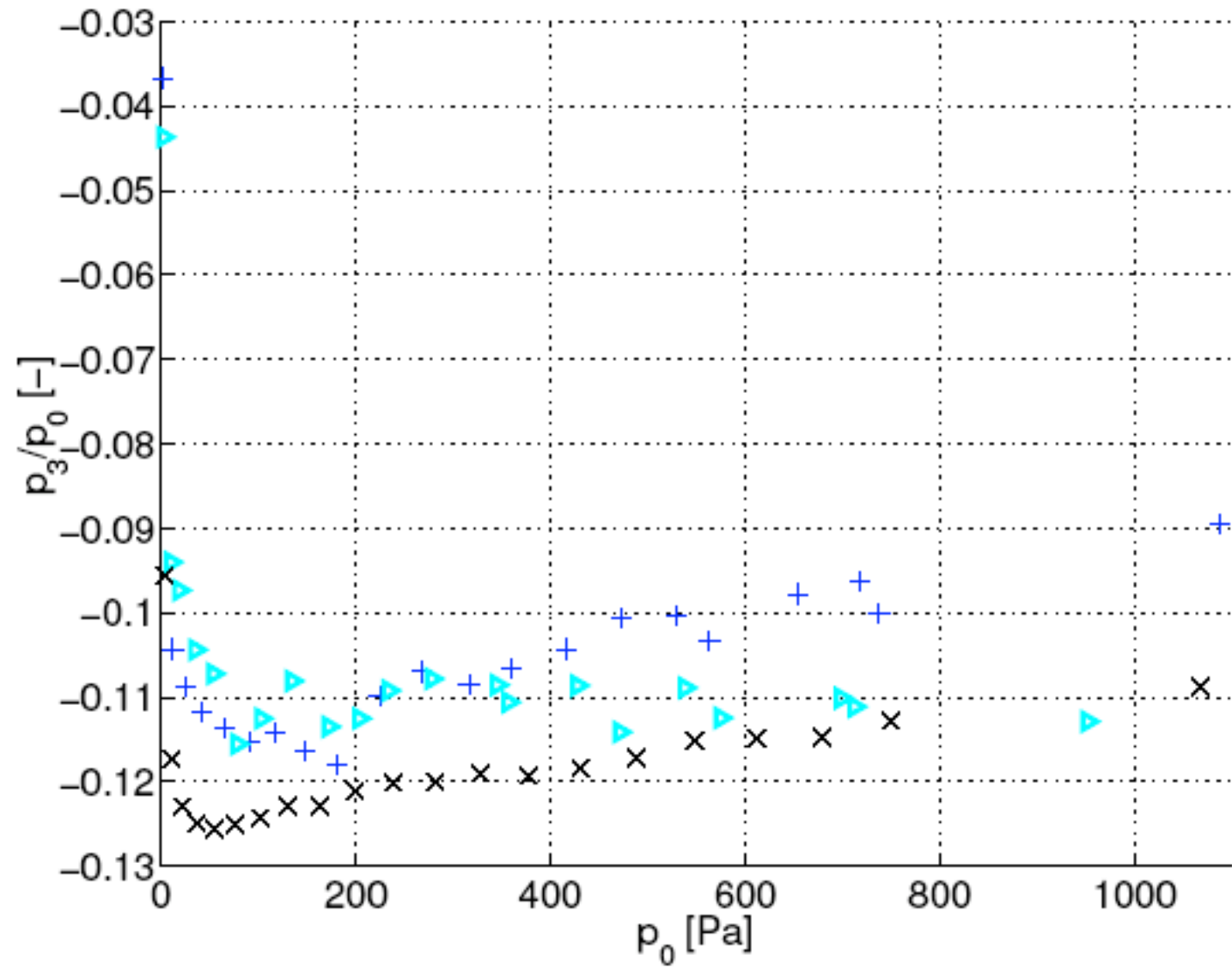


Figure 12. Normalized pressure position p_3 for $h_{min} = 1.45\text{mm}$: measured data (+), Thwaites (\blacktriangleright) and RNSP (x).

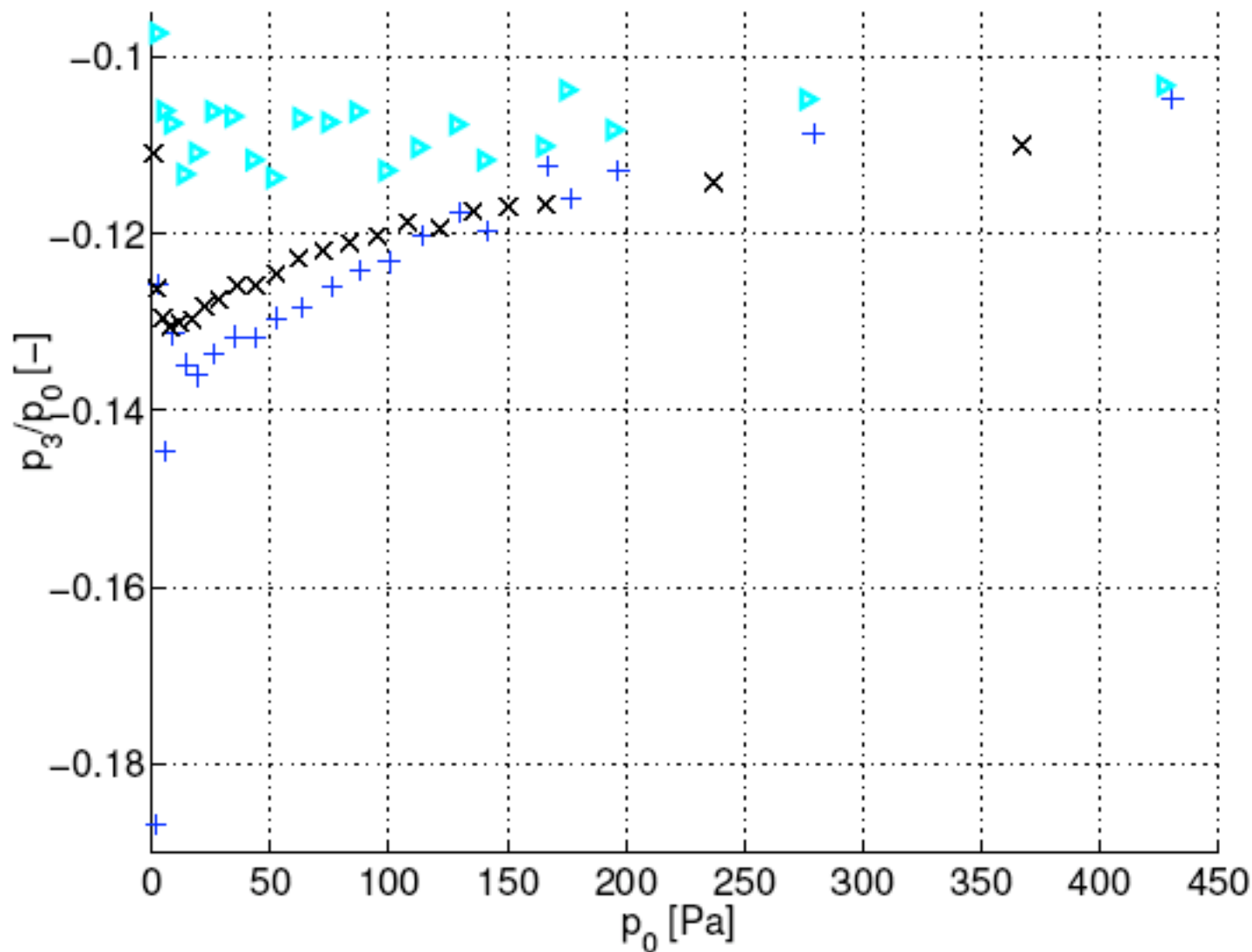


Figure 15. Normalized pressure at position p_3 for $h_{min} = 3.00\text{mm}$: measured data (+), Thwaites (\blacktriangleright) and RNSP (x).

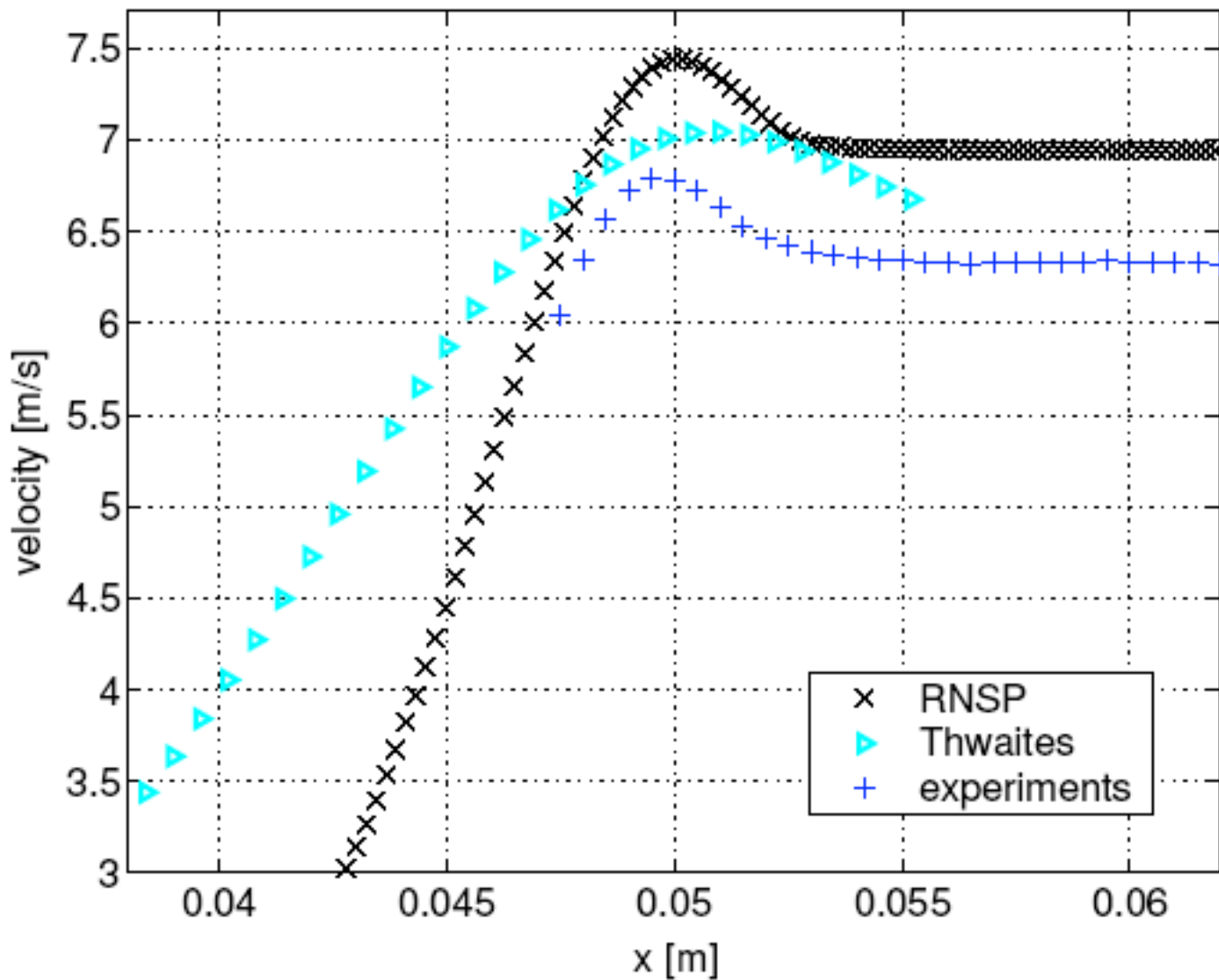


Figure 8. Longitudinal velocity profile with a step of $\Delta x = 1.0\text{mm}$ for $h_{min} = 3.00\text{mm}$ and $\phi=40\text{l/min}$: measured data (+), Thwaites (\blacktriangleright) and RNSP (x).

Conclusion

= .

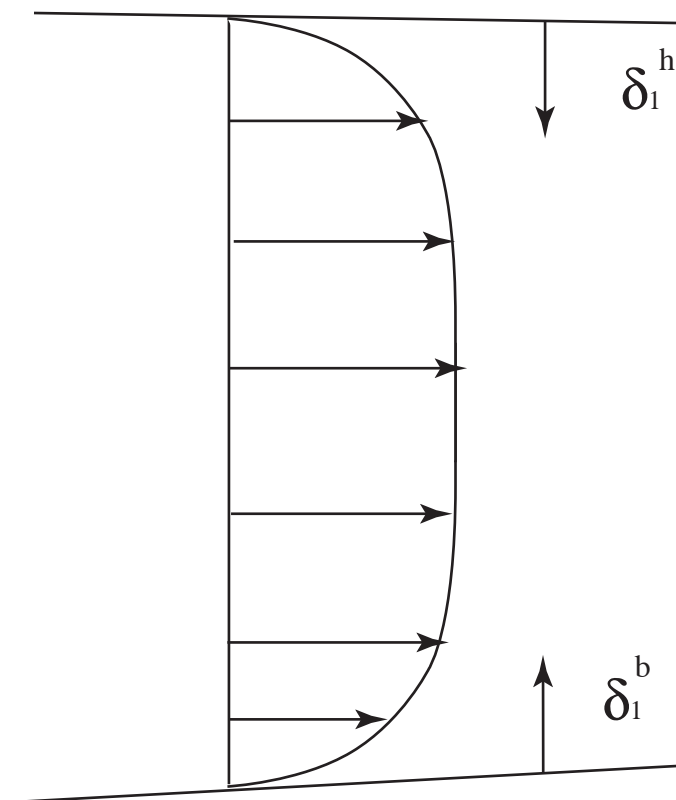
- méthode TRES rapide
- très bonne prédition (par rapport à Navier Stokes) des différents phénomènes
 - ici 2D asym
 - (2D sym.: OK)
 - (Axi :OK)
 - (incursion dans l'instationnaire)
- prédition assez correcte par rapport à l'expérience (transition...)
- Application à une paroi souple...



Vendredi 10 Septembre 2004- 29ème congrès SB

- P.-Y. Lagrée & S. Lorthois:
"The RNS/Prandtl equations and their link with other asymptotic descriptions. Application to the computation of the maximum value of the Wall Shear Stress in a pipe", to appear in Int J Eng Sci.
- A. Van Hirtum, X. Pelorson & P.-Y. Lagrée:
"In-vitro validation of some flow assumptions for the prediction of the pressure distribution during obstructive sleep apnea". sous presse Medical & biological engineering & computing
- P.-Y. Lagrée, E. Berger, M. Deverge, C. Vilain & A. Hirschberg:
"Characterization of the pressure drop in a 2D symmetrical pipe: some asymptotical, numerical and experimental comparisons". sous presse ZAMM
- M. Deverge, X. Pelorson, C. Vilain, P.-Y. Lagrée, F. Chentouf, J. Willems & A. Hirschberg (2003):
"Influence of the collision on the flow through in-vitro rigid models of the vocal folds".
J. Acoust. Soc. Am. 114 , pp. 3354 - 3362.

Utilisation d'une méthode intégrale



Utilisation d'une méthode intégrale

